

# **PŘÍSTAVBA A REKONSTRUKCE STÁVAJÍCÍHO UBYTOVACÍHO OBJEKTU „A“ DOMOVA DŮCHODCŮ ČERNOŽICE**

## **D.1.2 – STAVEBNĚ KONSTRUKČNÍ**

stavebník:	Královéhradecký kraj IČO70889546 Pivovarské náměstí 1245, 500 03 Hradec Králové
místo stavby:	Revoluční 84, 503 04 Černožice p.č. 111, 547/3, 547/17, k.ú. Černožice n. L. (620629)
stupeň:	dokumentace pro stavební povolení
generální projektant:	Ateliér 99 Purkyňova 99 612 00 Brno
zodpovědný projektant:	Ing. Josef Pirochta
zpracovatel části:	Agral Plast Chrastavská 46 460 01 Liberec 2
zodpovědný projektant:	Ing. Jiří Žižka
číslo zakázky:	15-21
datum:	08/2015

**A99**



## 1. Úvod:

Rekonstrukce stávajícího objektu:

Ve statickém výpočtu jsou zhodnoceny stávající konstrukce objektu s ohledem na uvažované stavební úpravy. V objektu byl proveden stavebně technický průzkum se zaměřením na stav nosných konstrukcí a na ověření skladeb konstrukcí. Průzkumem bylo prokázáno, že výškové úpravy v plochách chodeb a místností jsou provedena jako dodatečné konstrukce a je možno je odstranit. Také byl ověřen stav železobetonových konstrukcí. Konstrukce jsou v pořádku a objekt je možno i nadále využívat. Průzkum je samostatnou přílohou

2 SO 02 – objekt „C“

Jde o samostatně stojící jednopodlažní novostavbu. Objekt je zděný se zastropením prefabrikáty. Prefabrikáty uloženy na monolitický železobetonový věnec ve spádu. Součástí objektu je i dřevěná pergola. Stavba stojí v I. Sněhové oblasti a ve II. Větrové oblasti. Navržené konstrukce vyhovují pro uvažovaná zatížení.

AGRAL PLAST s.r.o.  
Chrastavská 46  
460 01 Liberec 2

# Statický výpočet DD Černožice Objekt „C“

Liberec, září 2015

Vypracoval:      Ing. Jiří Žižka



## 1. Úvod:

Ve statickém výpočtu jsou navrženy a posouzena konstrukce objektu „C“ v DD Černožice. Jde o samostatně stojící zděný objekt, konstrukce střechy tvořena prefabrikovanými panely. Výpočet prokázal, že navržené materiály a profily konstrukcí vyhovují.

## 2. Závěr:

Posouzení je provedeno podle norem ČN EN 1990, ČSN EN 1991, ČSN EN 1996 a ČSN EN 1992.

Ing. Jiří Žižka



## DD Černožice

Objekt "C"

### 1. Stálé zatížení

#### 1.1. Střecha

<b>Střecha</b>	[kN/m <sup>2</sup> ]	$\gamma_f$	[kN/m <sup>2</sup> ]
povlaková krytina	0,10	1,35	0,14
tepelná izolace 200mm	0,30	1,35	0,41
Panel tl. 250mm	4,00	1,35	5,40
Omítka	0,20	1,35	0,27
Zálivka	0,25	1,35	0,34
	0,00	1,35	0,00
	0,00	1,35	0,00
	0,00	1,35	0,00
	0,00	1,35	0,00
	0,00	1,35	0,00
	<b>4,85</b>		<b>6,55</b>

#### 1.2.

	[kN/m <sup>2</sup> ]	$\gamma_f$	[kN/m <sup>2</sup> ]
....			
	0,00	1,35	0,00
	0,00	1,35	0,00
	0,00	1,35	0,00
	0,00	1,35	0,00
	0,00	1,35	0,00
	0,00	1,35	0,00
	0,00	1,35	0,00
	0,00	1,35	0,00
	0,00	1,35	0,00
	<b>0,00</b>		<b>0,00</b>

### 2. Užitné zatížení

#### 2.1. Provoz

	[kN/m <sup>2</sup> ]	$\gamma_f$	[kN/m <sup>2</sup> ]
plošné na 10 m2	0,75	1,5	1,125
	<b>0</b>		<b>1,125</b>
břemeno	0,00	1,5	0,00 kN/m

.....

#### Kombinace zatěžovacích stavů:

CO1 - Kombinace pro MSÚ

CO2 - Kombinace pro MSP

Mapa zatížení sněhem na zemi

Poloha

50.3198

50 ° 19 ' 11.3 "

15.8726

15 ° 52 ' 21.4 "

256

[m.n.m]

Celá ČR

Smazat

Charakteristická hodnota zatížení sněhem na zemi

zatížení  $s_k$

0.67

[kPa]

Statistické parametry rozdělení ročních maxim

střední hodnota  $\mu$

0.24

[kPa]

směrodatná odchylka  $\sigma$

0.16

[kPa]

variační koeficient  $V$

0.66

šikmost  $\alpha$

1.56

Rozdělení denních hodnot

Histogram denních hodnot

O aplikaci

About

Data map ©2015 GeoBasis-DE/ Nahášení chyby v mapě

1 z 1

3.9.2015 13:26

## DD Černožice

### ZATÍŽENÍ

#### 3. Nahodilé zatížení

##### 3.1. Větr

Výchozí základní rychlost větru:	$V_{b,0}$	25	[m/s]
Měrná hmotnost vzduchu:	$\rho$	1,25	[kg/m <sup>3</sup> ]
Součinitel směru větru:	$c_{dir}$	1,0	
Součinitel ročního období:	$c_{season}$	1,0	
Součinitel turbulence:	$k_l$	1,0	
Základní rychlost větru:	$V_b$	25	[m/s]
Základní dynamický tlak větru:	$q_b$	0,39	[kN/m <sup>2</sup> ]
Kategorie terénu:		II	
Výška nad terénem:	$z$	4,5	[m]
Minimální výška nad terénem:	$z_{min}$	2	[m]
Parametr drsnosti terénu:	$z_0$	0,05	[m]
Parametr drsnosti terénu pro II. kategorii:	$z_{0,II}$	0,05	[m]
Použitá výška nad terénem:	$z$	4,5	
Součinitel ortografie:	$c_0(z)$	1,0	
Součinitel terénu:	$k_r$	0,19	
Součinitel drsnosti:	$c_r(z)$	0,85	
Střední rychlost větru:	$v_m(z)$	21,37	[m/s]
Intenzita turbulence:	$I_v(z)$	0,222	
Maximální hodnota dynamického tlaku:	$q_p$	0,73	[kN/m <sup>2</sup> ]
Součinitel expozice:	$c_e$	1,87	

##### 3.2. Sníh

Sněhová oblast:		I	
Charakteristická hodnota zat. sněhem	$s_k$	0,70	[kN/m <sup>2</sup> ]

			Tvarový součinitel	Zatížení sněhem
			$\mu_1$	$s$ [kN/m <sup>2</sup> ]
Sklony střechy : [°]	$\alpha_1$	5	0,80	0,56
	$\alpha_2$	5	0,80	0,56
	$\alpha_3$		0,80	0,56
	$\alpha_4$		0,80	0,56
	$\alpha_5$		0,80	0,56
	$\alpha_6$		0,80	0,56



# STROPNÍ KONSTRUKCE

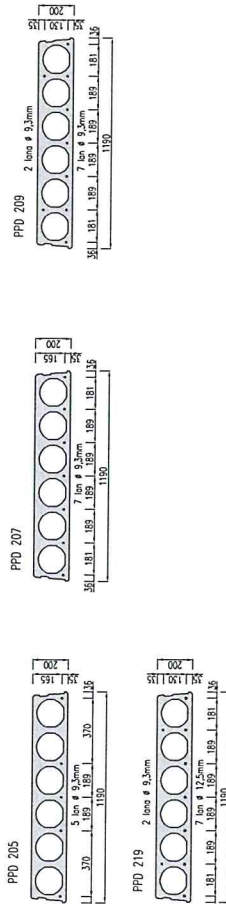
## 4 PŘEDPĚTÉ STROPNÍ PANELY SPIROLL VÝŠKY

tabulka výřobních rozměrů – spiroll h = 200 mm závod kuřím

číslo	př. s. l. (mm)	l. (mm)	b. (mm)	h. (mm)	l. + 2. (mm)	h. (mm)
PPD./205	5/9,3	2000	1190	200	1,5	206
PPD./207	7/9,3	2000	1190	200	1,5	206
PPD./209	7+2/9,3	2000	8500	200	1,5	206
PPD./219	7/12,5+2/9,3	2000	11000	200	1,5	206

Pozn.: – v místě teček se udává délka panelu v cm, – panely se vyrábějí v kroku po 10 mm, – průměr lana se udává v mm

### PANELY SPIROLL V ŘEZU



# STROPNÍ KONSTRUKCE

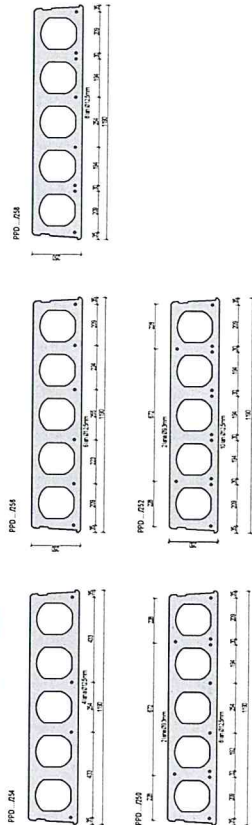
## 4 PŘEDPĚTÉ STROPNÍ PANELY SPIROLL VÝŠKY

tabulka výřobních rozměrů – spiroll h = 250 mm závod kuřím

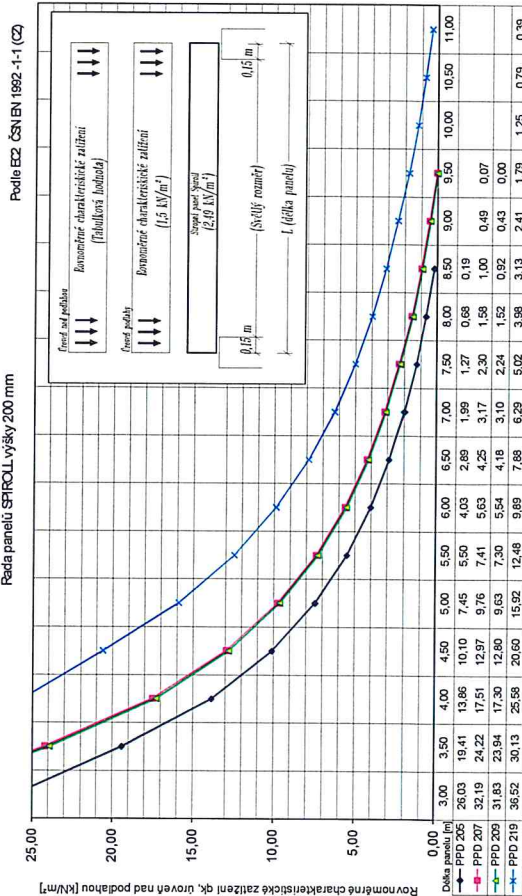
číslo	př. s. l. (mm)	l. (mm)	b. (mm)	h. (mm)	l. + 2. (mm)	h. (mm)
PPD./254	4/12,5	2000	1190	250	1,5	397
PPD./256	6/12,5	2000	1190	250	1,5	397
PPD./258	8/12,5	2000	12000	250	1,5	397
PPD./259	8/12,5+2/9,3	2000	12000	250	1,5	397
PPD./262	10/12,5+2/9,3	2000	13000	250	1,5	397

Pozn.: – v místě teček se udává délka panelu v cm, – panely se vyrábějí v kroku po 10 mm, – průměr lana se udává v mm

### PANELY SPIROLL V ŘEZU



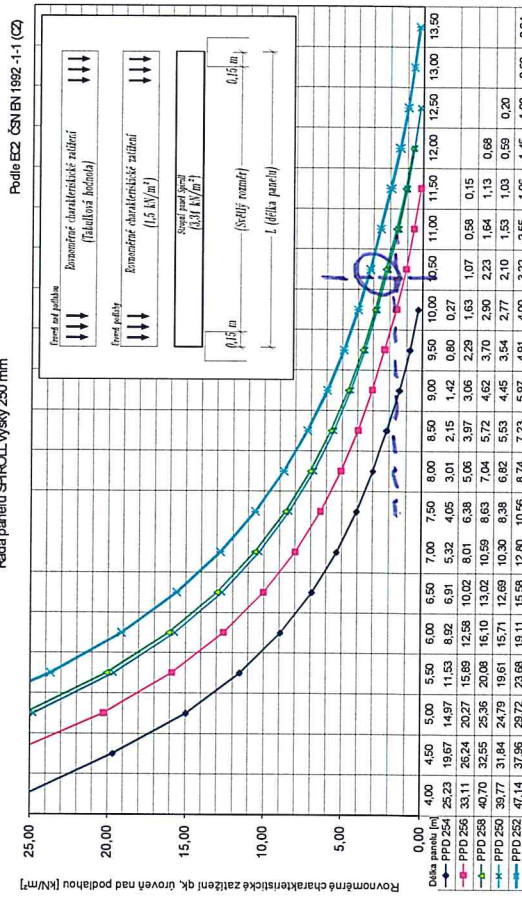
Rada panelů SPIROLL výšky 200 mm



Rovnoměrné charakteristické zatížení qk, úroveň nad podlahou [kN/m²]

(Tabulková hodnota)

Rada panelů SPIROLL výšky 250 mm



Rovnoměrné charakteristické zatížení qk, úroveň nad podlahou [kN/m²]

(Tabulková hodnota)



# POSOUZENÍ ÚNOSNOSTI ZDIVA POROTHERM DLE #SN EN 1996-1-1

Akte:	DD #ernožice
Pesuzovaný prvek:	st#na
Vypracoval:	Ing.Žižka
Datum:	3.9.2015

## Použité cihelné bloky

Zvolený zdící blok:

### Porotherm 44 P+D (P8)



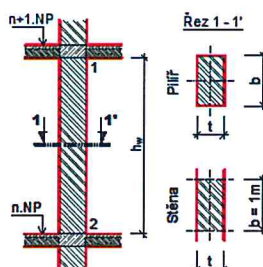
Rozm#ry:	247x440x238 mm
Normalizovaná pr#m#rná pevnost v tlaku zdícího prvku $f_b$ =	9,15 MPa
Skupina zdícího prvku:	2
Plošná hmotnost v#etn# omítek tl.15 mm:	3,71 kN/m <sup>2</sup>

## Malta

Sou#initel p#etvárnosti zdiva v tlaku $K_E$ =	1000
Malta =	M 5
Charakteristická hodnota pevnosti v tlaku $f_k$ =	3,43 MPa
Modul pružnosti zdiva $E$ =	3434 MPa
Zdící prvky kategorie I a p#edpisová malta	Ano
Díl#í sou#initel materiálu $\gamma_m$ =	2,2
Návrhová pevnost v tlaku zdiva ve sm#ru zatížení $f_d$ =	1,56 MPa

## Parametry posuzovaného pr#ezu

Tloušťka st#ny	$t = 440$ mm
Délka pilí#e	$b = 1000$ mm
Sv#tlá výška st#ny	$h = 3500$ mm

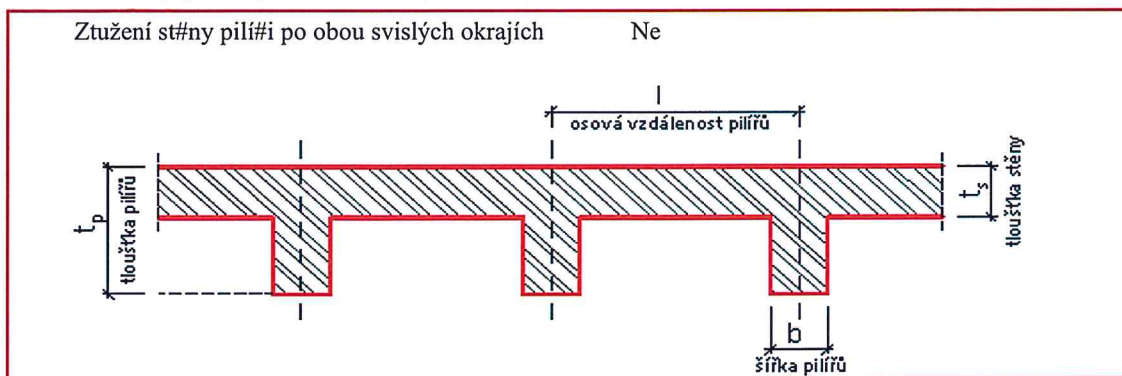


POSOUZENÍ ÚNOSNOSTI ZDIVA POROTHERM

www.porotherm.cz

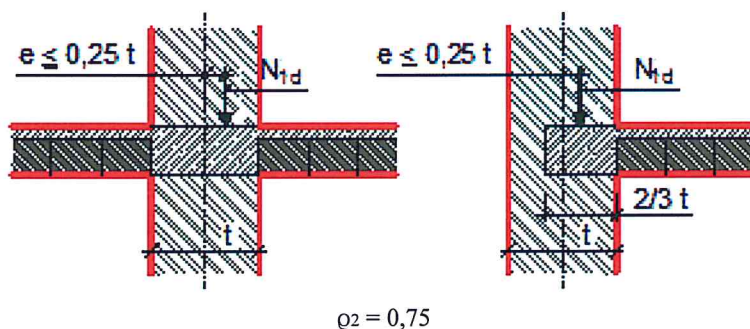
Wienerberger  
POROTHERM

## Ztužení stěny pilíři po obou svislých okrajích

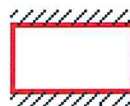


## Souinitel vzporné délky $q_n$

Stěna je nahoře i dole podepřena železobetonovými stěpami při dodržení podmínek viz obr.



Stěna je podepřena jen v úrovni hlavy a paty



Vzporná výška stěny  $h_{ef} = 2625 \text{ mm}$

Štíhlost zděné stěny  $\lambda = 6 < 27 = \text{limitní štíhlost}$

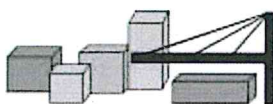
## Vnitřní síly

Normálová síla	V úrovni hlavy stěny	$N_{1d} = 50,000 \text{ kN}$	
	V 1/2 výšky v#všech výstředných zatížení p#sobících na stěnu	$N_{md} = 58,765 \text{ kN}$	
	V úrovni paty stěny	$N_{2d} = 67,53 \text{ kN}$	
Ohybový moment od výstřednosti zatížení strop# v podporách	V úrovni hlavy stěny	$M_{1d} = 0,000 \text{ kNm}$	
	V 1/2 výšky v#všech výstředných zatížení p#sobících na stěnu	$M_{md} = 0,000 \text{ kNm}$	
	V úrovni paty stěny	$M_{2d} = 0,000 \text{ kNm}$	
Ohybový moment od vodorovného zatížení	V úrovni hlavy stěny	$M_{1hd} = 0,000 \text{ kNm}$	
	V 1/2 výšky v#všech výstředných zatížení p#sobících na stěnu	$M_{mhd} = 2,400 \text{ kNm}$	
	V úrovni paty stěny	$M_{2hd} = 0,000 \text{ kNm}$	

## Výsledky

V úrovni hlavy stěny	$e_1 = 5,8 \text{ mm} < 0,05 t = 22 \text{ mm}$	
	$\Phi_1 = 0,900$	
	$N_{1d} = 50,000 \text{ kN} < 618,082 \text{ kN} = N_{1Rd}$	<b>VYHOVUJE</b>
V 1/2 výšky stěny	$e_{mk} = 46,7 \text{ mm}$	
	$\Phi_m = 0,771$	
	$N_{md} = 58,765 \text{ kN} < 529,547 \text{ kN} = N_{mRd}$	<b>VYHOVUJE</b>
V úrovni paty stěny	$e_2 = 5,8 \text{ mm} < 0,05 t = 22 \text{ mm}$	
	$\Phi_2 = 0,900$	
	$N_{2d} = 67,530 \text{ kN} < 618,082 \text{ kN} = N_{2Rd}$	<b>VYHOVUJE</b>





**DIAGNOSTIKA STAVEBNÍCH KONSTRUKCÍ s.r.o.**

Svobody 814, Liberec 15, 460 15, tel.482750583, fax.482750584,  
mobil 603711985, 724034307  
e-mail : diagnostika.lb@volny.cz

**Z P R Á V A   č.108/15**

**Diagnostický průzkum  
vybraných konstrukcí  
objektu Domova důchodců, Revoluční č.84  
ČERNOŽICE**



Počet stran : 7  
Počet příloh : 5  
Datum : 23.7.2015

Vypracovali :  
ing.K.Čapek  
ing.A.Hlaváček  
ing.A.Hlaváček ml.



## **1.ÚVOD**

**OBJEDNAVATEL :** Agral Plast spol. s.r.o., Liberec, ing.Žižka  
**STABA-OBJEKT:** č.p.84., Revoluční ulice , DD Černožice  
**KONSTRUKCE :** nosná železobetonová monolitické konstrukce a konstrukce podlah ve 3.N.P. a 4.N.P.

Na základě požadavku objednavatele byl proveden v období července 2015 diagnostický průzkum podlah ve 3.N.P. a 4.N.P. z hlediska výškového provedení a skladeb a dále byla provedena vizuální kontrola železobetonových monolitických konstrukcí skeletu objektu. Průzkum byl prováděn pouze ve vybrané části půdorysu objektu a pro vybrané konstrukce. Nejedná se o kompletní stavebně technický průzkum objektu. Průzkum slouží k projektové přípravě rekonstrukce objektu.

## **2.PODKLADY PRŮZKUMU**

Objednatel předal jako podklady výkresy zaměření stávajícího stavu objektu (vypracoval Atelier DC v březnu 2009). Tyto výkresy jsou uvedeny v příloze č.3. V příloze č.2 jsou uvedeny výkresy původní projektové dokumentace z roku 1926 získané z archivu DD Černožice. V příloze č.4 jsou do výkresů stávajícího stavu zakreslena místa provedených sond a výšky podlah v jednotlivých místnostech a zjištěný materiál pochozí vrstvy.

## **3.PROVEDENÉ PRÁCE A VÝSLEDKY ZKOUŠEK**

Po prověření archivních podkladů poskytnutých v DD v Černožicích a vstupní prohlídce objektu byla určena místa provedení sond do konstrukce podlah ve 3.N.P. a 4.N.P. V těchto podlažích bylo zjištěno, že výška podlahy v chodbě navazující na schodiště neodpovídá výšce výstupního stupně schodiště a stejně tak podlaha v místě nástupního stupně je zvýšena oproti výšce tohoto stupně. Z těchto zjištěných skutečností bylo patrné, že konstrukce podlah v chodbách ve 3.N.P. a 4.N.P. nejsou původní, ale byly v průběhu dosavadní životnosti objektu upraveny. Dále bylo při prohlídce zjištěno, že na podlažích jsou některé pokoje, jejichž výška podlahy nesouhlasí s výškou podlahy na chodbách. Podlahy na některých pokojích jsou ještě na vyšší úrovni než podlaha v chodbách ve 3.N.P. a 4.N.P. Rozdíly mezi podlahou chodby a podlahou v pokojích je třeba překonávat dřevnými rampami (nájezdy).

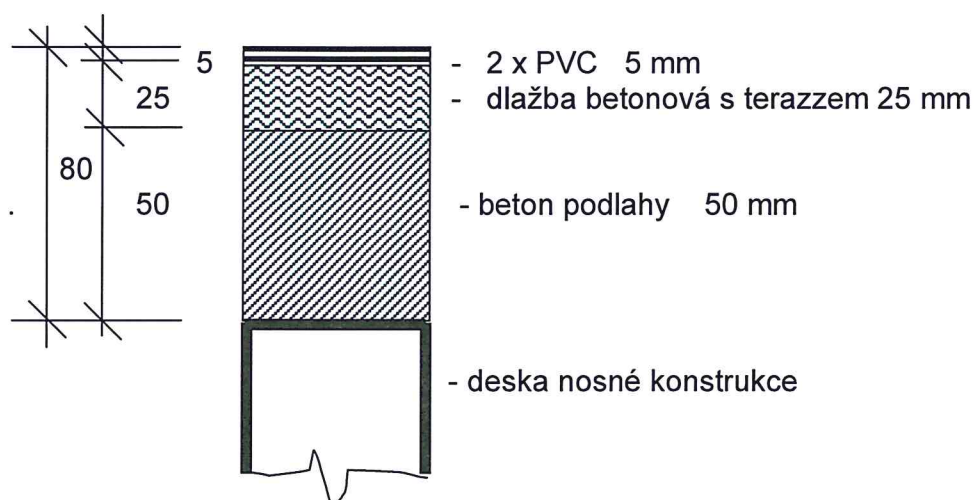
Objekt byl dle zjištění z původní projektové dokumentace vybudován jako ubytovna a stravovna pro dělníky kolem roku 1926. Tomuto účelu sloužila budova ale pouze krátký čas a v další části jeho životnosti již sloužil převážně jako domov pro důchodce. Tato změna užívání také zřejmě vyvolala potřebu upravit podlahy v některých podlažích.

### 3.1. SKLADBA PODLAHY V 3.N.P.

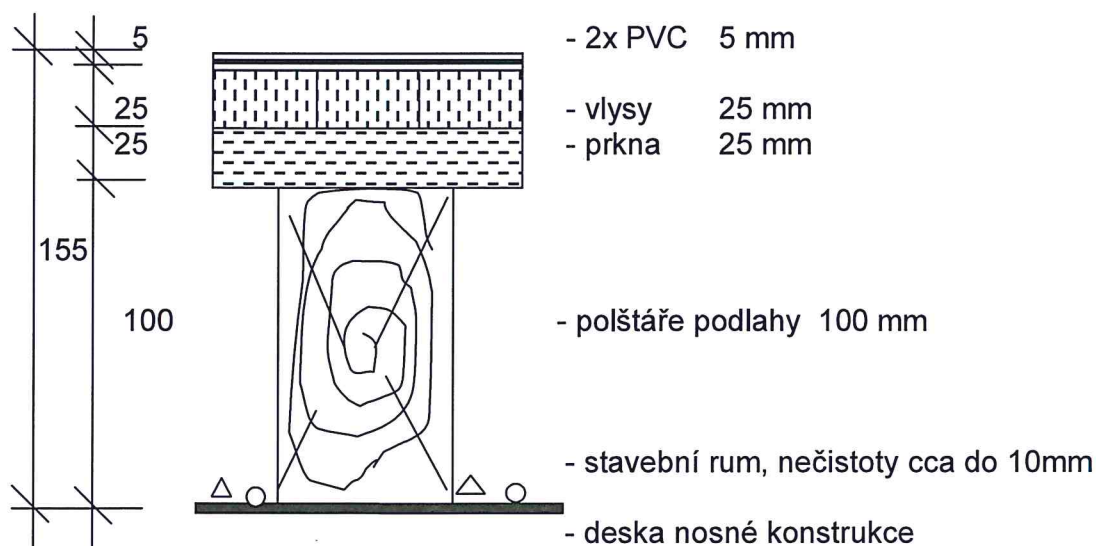
Do konstrukce podlahy v 3.N.P. byly provedeny sondy S1 a BS1. Umístění sond je patrné z přílohy č.4a. Sonda S1 byla provedena jádrovým vrtem průměru 45mm do podlahy v chodbě ve 3.N.P. tak, aby byla zjištěna konstrukce podlahy vystupující nad úroveň výstupního stupně schodiště do 3.N.P. Sonda BS1 byla provedena endoskopicky boroskopem OLYPUS a EVEREST VIT do podlahy v pokoji ve 3.N.P. tak, aby byl zjištěn důvod rozdílu výšek podlahy v chodbě a v pokoji.

Skladba podlahy v sondě S1 je uvedena ve schématu č.1. Skladba podlahy zjištěná endoskopicky je uvedena ve schématu č.2. Ve schématu č.3 jsou zakresleny výšky v jednotlivých částech podlaží.

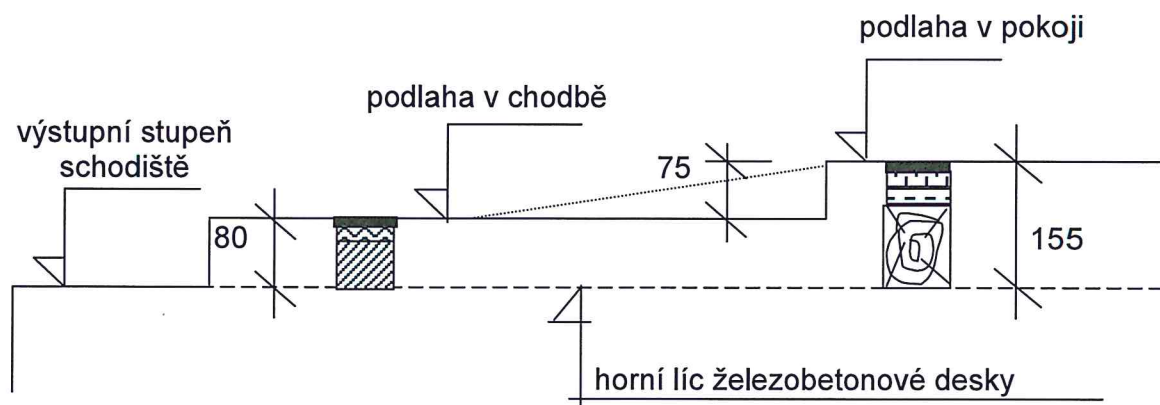
**SCHÉMA č.1** - Konstrukce podlahy v sondě S1



**SCHÉMA č.2** - Konstrukce podlahy v sondě BS1



### SCHÉMA č.3 - Výšky podlah na podlaží – 3.N.P.

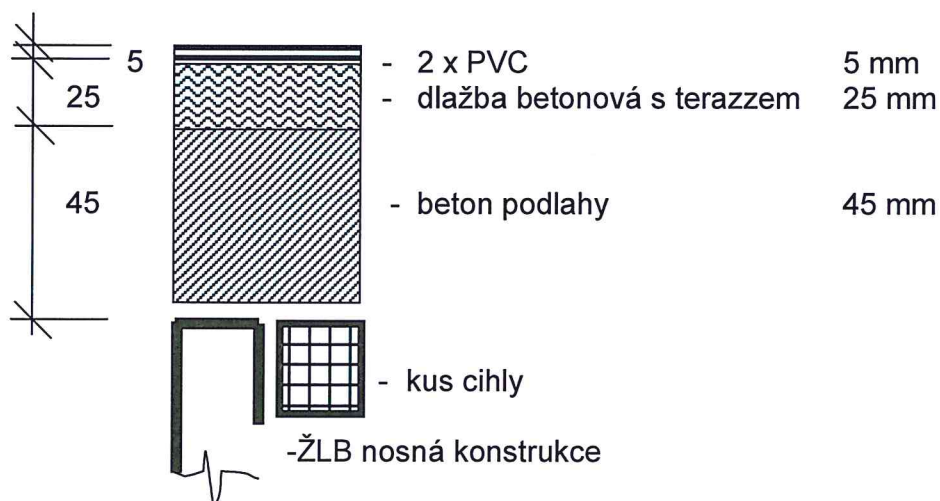


### 3.2. SKLADBA PODLAHY V 4.N.P.

Do konstrukce podlahy ve 4.N.P. byly provedeny sondy S2, S3 a dále endoskopicky BS2 a BS3. Umístění sond je patrné z přílohy č.4b. Sondy S2 a S3 byly provedeny jádrovým vrtem průměru 45mm do podlahy v chodbě ve 4.N.P. tak, aby byla zjištěna konstrukce podlahy vystupující nad úroveň výstupního stupně schodiště do 4.N.P. Sonda BS2 byla provedena endoskopicky boroskopem OLYPUS a EVEREST VIT do podlahy v pokoji ve 4.N.P. tak, aby byl zjištěn důvod rozdílu výšek podlahy v chodbě a v pokoji. Sonda BS4 byla provedena rovněž endoskopicky do dřevěné konstrukce podlahy v místě spojovací chodby do vedlejší přístavby.

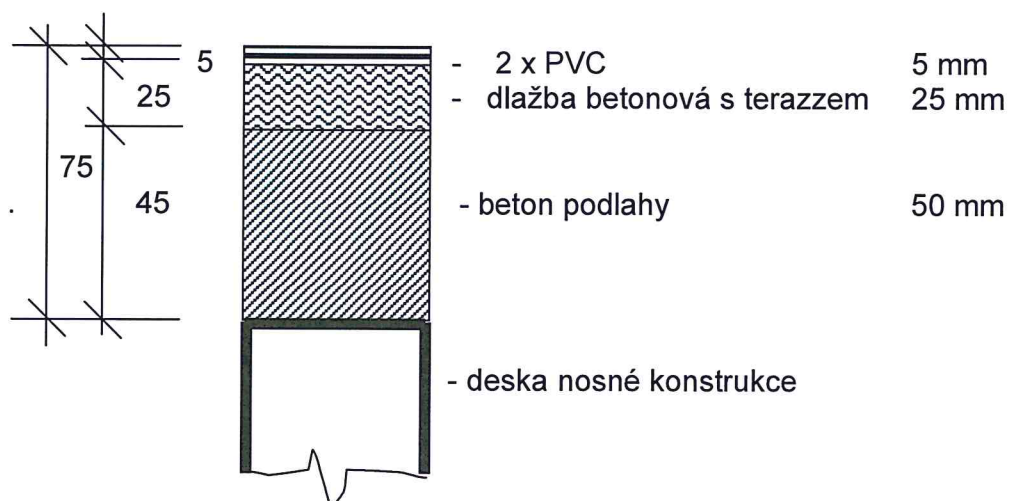
Skladba podlahy v sondě S2 je uvedena ve schématu č.4. Jelikož v této sondě byly zastíženy kusy cihel a konstrukce zde nebyla zcela jasná, byla provedena ještě jedna sonda označená S3 v ploše chodby. Skladba v sondě S3 je uvedena ve schématu č.5. Skladba podlahy zjištěná endoskopicky v místě BS2 je uvedena ve schématu č.6. Skladba v místě sondy BS3 je uvedena ve schématu č.7. Ve schématu č.8 jsou zakresleny výšky v jednotlivých částech podlaží.

### SCHÉMA č.4 Konstrukce podlahy v sondě S2

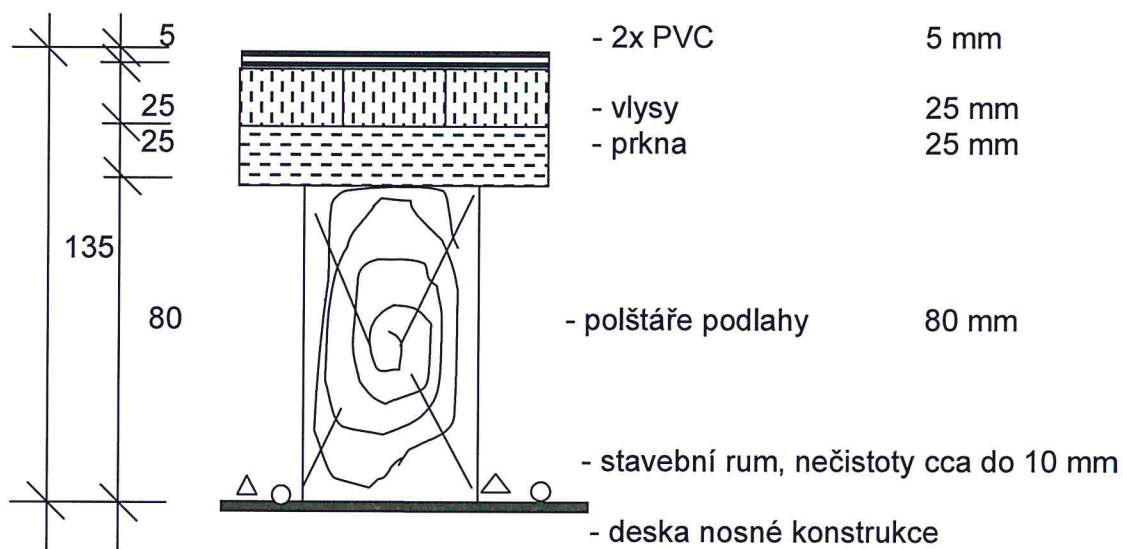




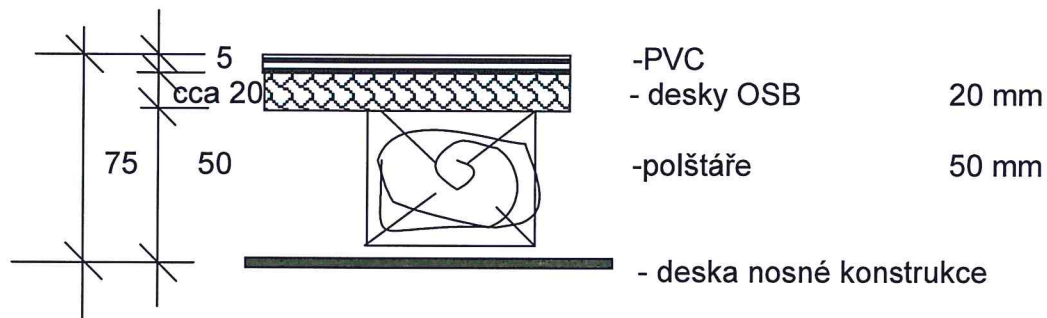
**SCHÉMA č.5** Konstrukce podlahy v sondě S3



**SCHÉMA č 6** Konstrukce podlahy v sondě BS2

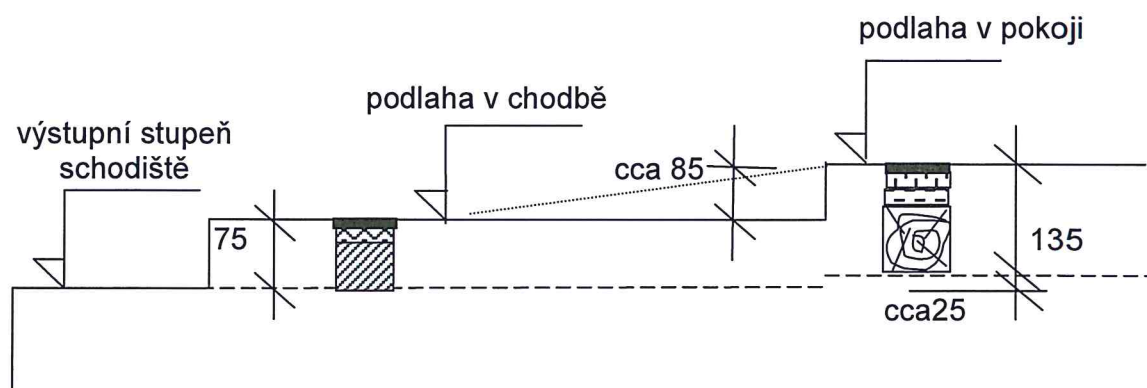


**SCHÉMA č.7 :** Konstrukce podlahy v sondě BS3





### SCHÉMA č.8 - Výšky podlah na podlaží – 4.N.P.



Poznámka:

Rozdíl výšek 25mm může být způsobený nepřesností betonáže stropní konstrukce, nebo lokální nerovností v místě sondy BS2

### 3.3. MĚŘENÍ VÝŠEK PODLAH NA PODLAŽÍCH

Po provedení sond ke zjištění skladby podlah v konkrétních místech bylo ve 3.N.P. a 4.N.P. provedeno zaměření výšek podlah na pokojích a v ostatních místnostech. Výšky podlah v místnostech byly vztahovány k podlaze v chodbě. Výšky podlah zjištěné pro pokoje a ostatní místnosti ve 3.N.P. jsou patrné z přílohy č.4a. Jsou zde rovněž uvedeny druhy konstrukcí podlah v jednotlivých místnostech. Výšky podlah zjištěné pro pokoje a ostatní místnosti ve 4.N.P. jsou patrné z přílohy č.4b. Také zde jsou uvedeny druhy konstrukcí v jednotlivých místnostech.

### 3.4. KONTROLA ŽELEZOBETONOVÉ MONOLITICKÉ KONSTRUKCE SKELETU

Při stavebně technickém průzkumu byla provedena vizuální kontrola železobetonového monolitického skeletu objektu. Při podrobné prohlídce nebyly zjištěny žádné staticky závažné poruchy konstrukcí (sloupy, průvlaky, desky). Lokálně byly zjištěny trhliny v deskách ve směru nosné výztuže. Tyto poruchy nejsou staticky závažné a jsou dány patrně nedostatečným množstvím rozdělovací výztuže v deskách.

Nebyly zjištěny žádné poruchy svědčící o korozi výztuže betonu skeletu. Nebyla zjištěna žádná konstrukce s odtržením krycí vrstvy v důsledku koroze výztuže z důvodu karbonatce a přísunu vlhkosti do konstrukce. Monolitický skelet je na obvodu obezděn. Železobetonové konstrukce jsou tak s obezděním nebo volné v interiéru.

## **4.ZÁVĚR**

Veškeré zjištěné skutečnosti jsou uvedeny v předchozích bodech a přílohách této zprávy č.1 až č.5-fotodokumentace.

### **4.1. SKLADBY PODLAH**

Zjištěné skladby podlah jsou uvedeny v odstavci 3.1. Ze skladeb zjištěných při průzkumu je patrné, že konstrukce podlah ve 3.N.P. a 4.N.P. v místech chodby s betonovou dlažbou byla prováděna na nosnou konstrukci desky dodatečně. Z archivní dokumentace i ze sond do podlahy v pokojích a chodbách vyplývá, že původní horní plochy desek nosné konstrukce byly zřejmě přímo pocházeny, nebo byly pouze zakryty podlahovou krytinou, která byla před dalšími úpravami odstraněna. Dnešní vrstvy podlah byly patrně prováděny dodatečně, buď na původní nosnou konstrukci, případně po odstranění vrstev původní podlahy.

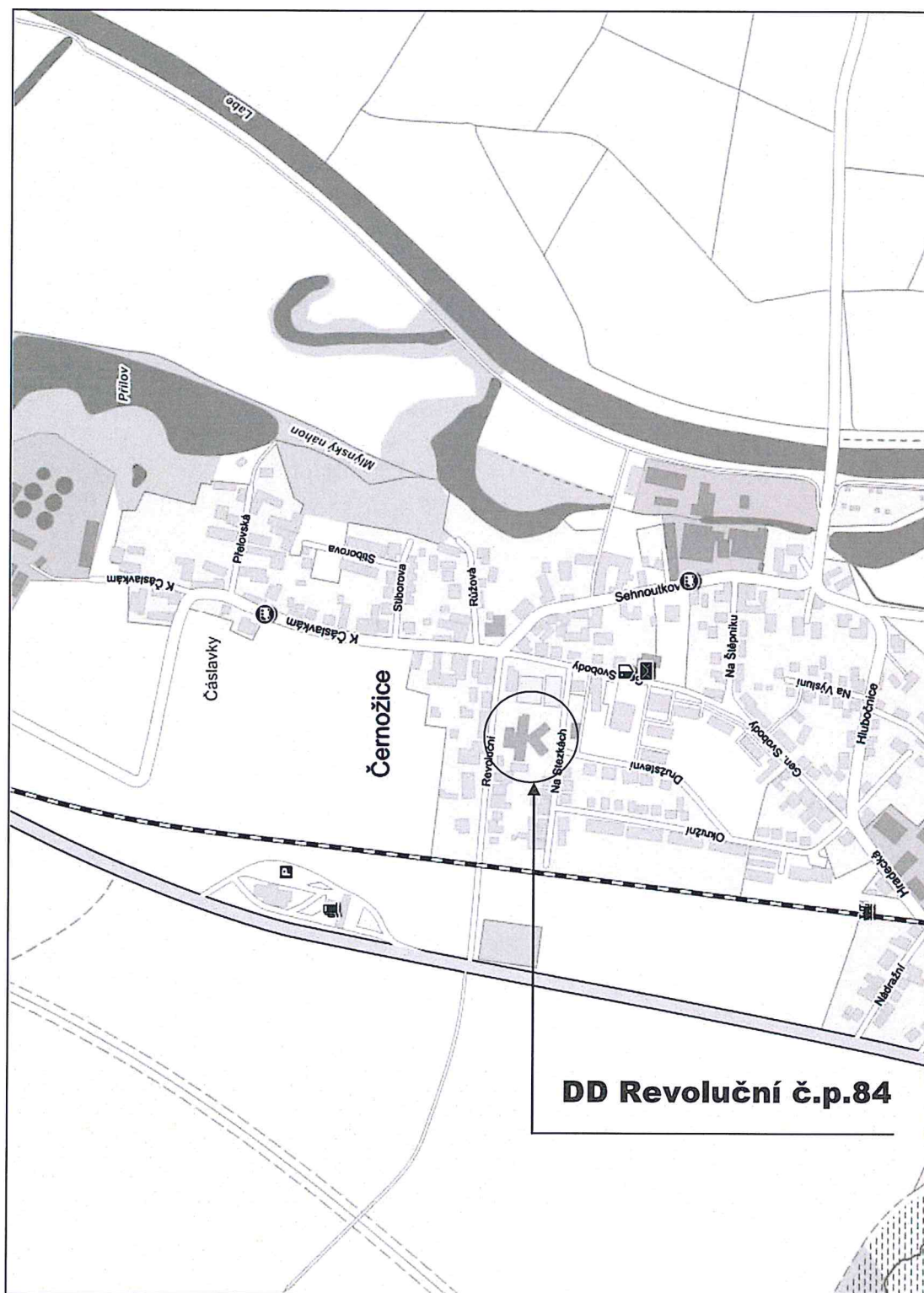
### **4.2. ŽELEZOBETONOVÁ MONOLITICKÁ KONSTRUKCE SKELETU**

Při podrobné prohlídce železobetonové monolitické konstrukce skeletu budovy nebyly zjištěny žádné staticky závažné poruchy, které by bránily rekonstrukci objektu. Nelze ale počítat s žádným výraznějším přetížením konstrukcí, jelikož desky se jeví jako velmi subtilní.

v Liberci dne 23.7.2015

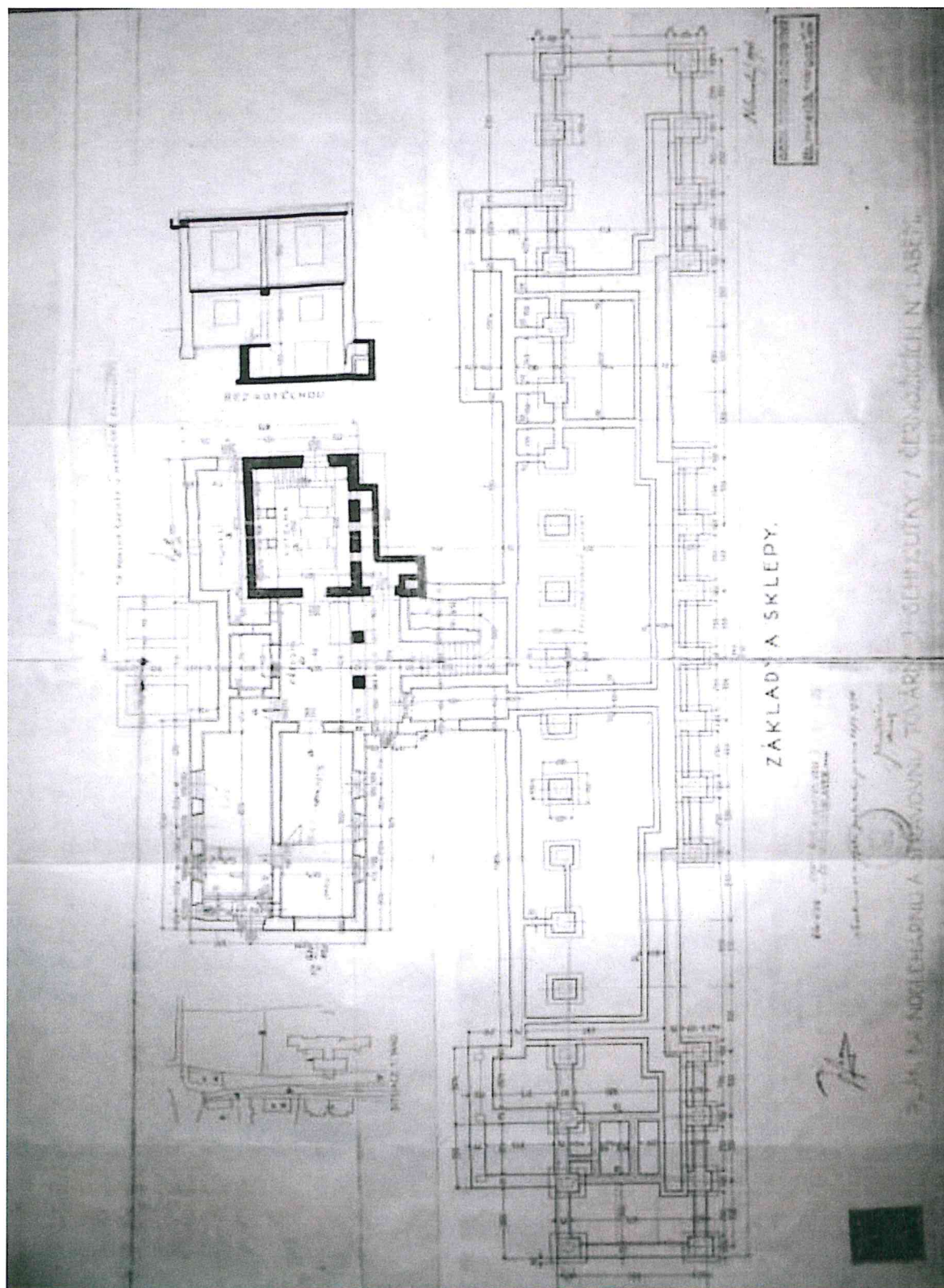
Diagnostika stavebních konstrukcí  
s.r.o.  
ing.K.Čapek  
ing.A.Hlaváček  
ing.A.Hlaváček ml.

## SITUACE





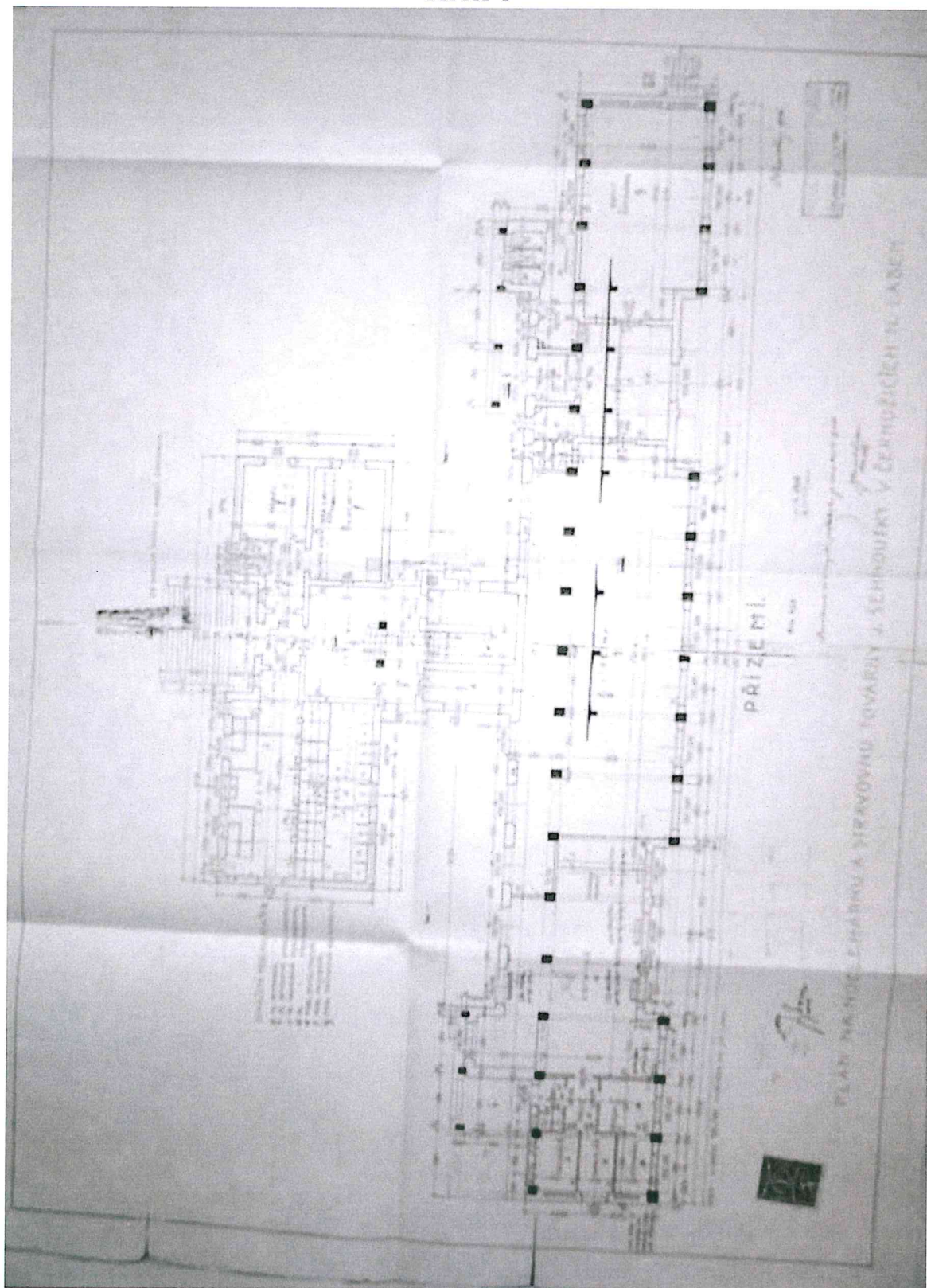
**ARCHIVNÍ MATERIÁLY 1926**  
**ZÁKLADY + 1.P.P.**



**PŘÍLOHA č.2a**



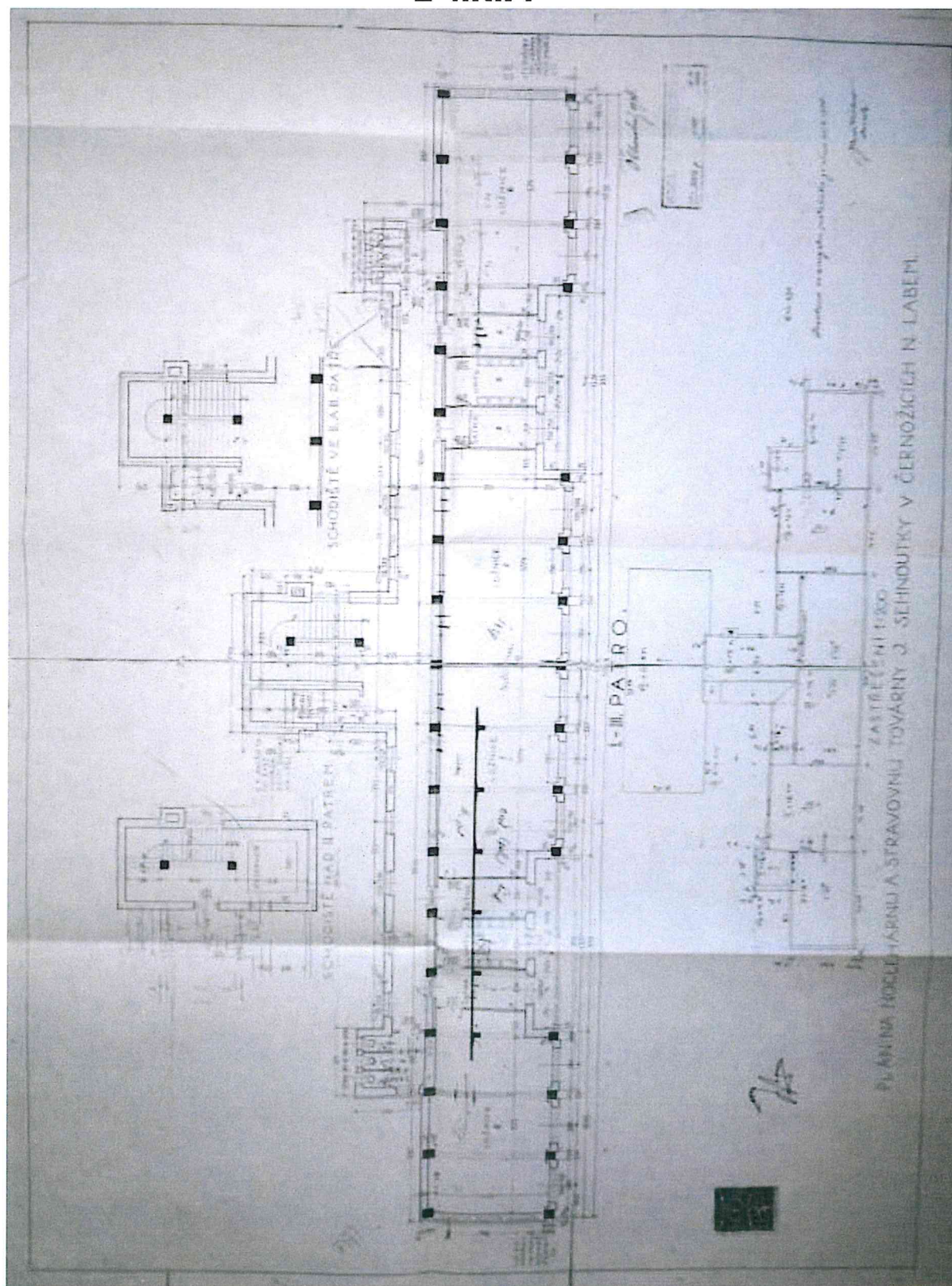
**ARCHIVNÍ MATERIÁLY 1926**  
**1.N.P.**



**PŘÍLOHA č.2b**



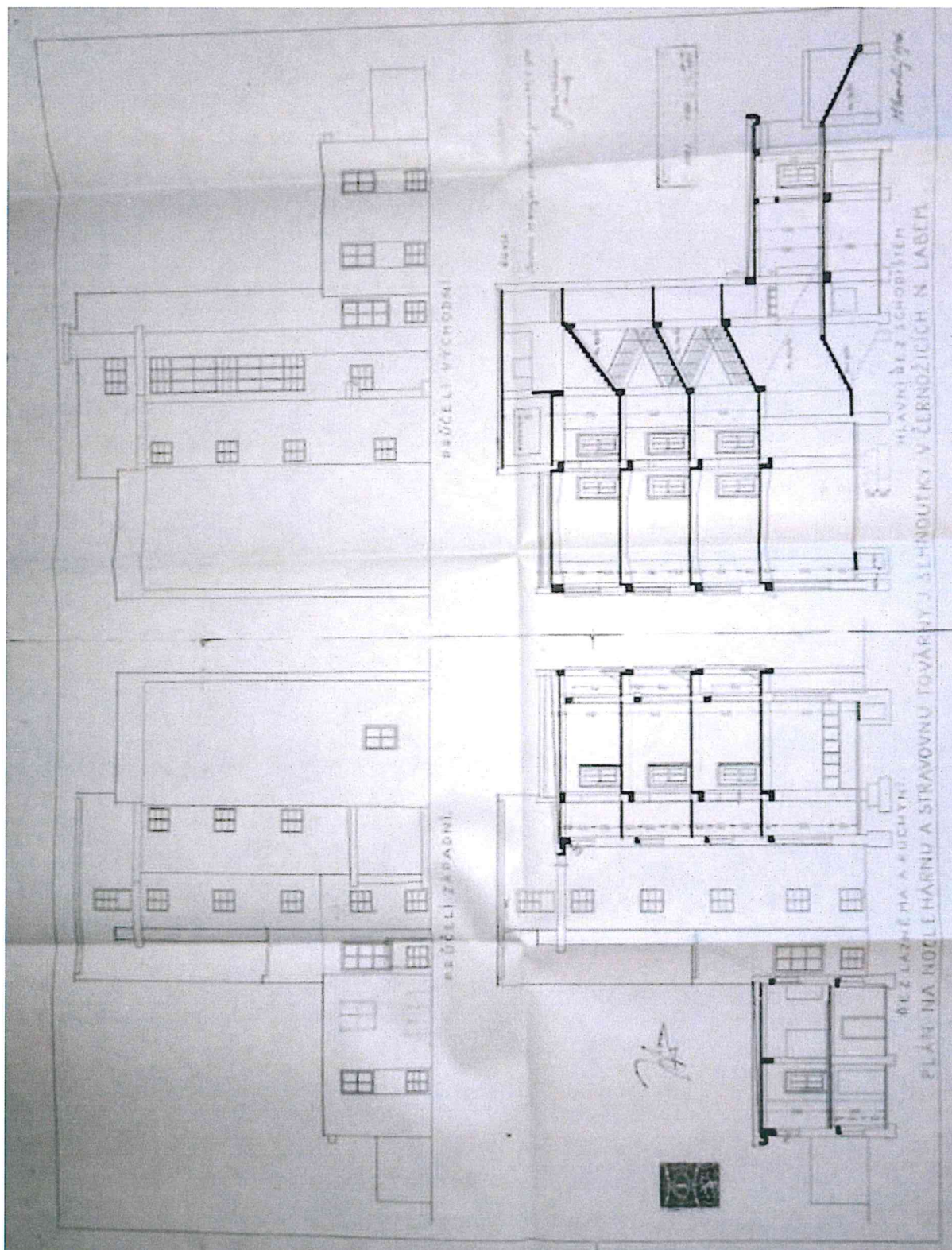
**ARCHIVNÍ MATERIÁLY 1926**  
**2-4.N.P.**



**PŘÍLOHA č.2c**



## ARCHIVNÍ MATERIÁLY 1926 ŘEZY











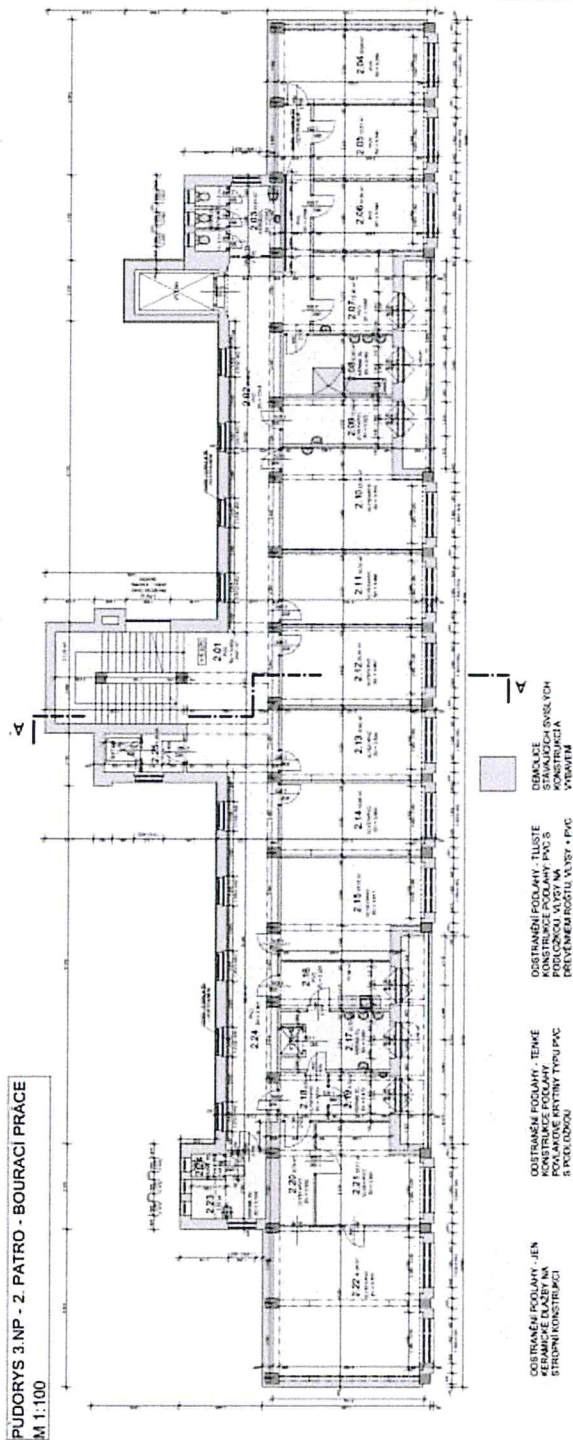




OBJEKTY BLOKŮ VŠECHNA OKRAJ OVRHNUJÍ A  
PŘIHLAŠUJÍ SE DO KONTAKTU S POKRYTOU KONZULE  
OBRAJUNÁ STÁTNÍ PRAMITOVÉ REČE A TOU KČE  
VÝSTUPNĚ OVĚŘÍ, DLE SMĚRNICE DETALU  
VÝSTUPNĚ VNTNÍ DVĚŘE BLOKŮ VÝSTUPNĚ  
VÝSTUPNĚ ZARUČÍ, STAVUČÍ VNTNÍ V KUCHYNSKÉM  
PROVOZOVÁ PO NEJEDNĚ REKONSTRUKCI BLOKŮ  
JACHOVANY (PRŮJEM)

**A. POSTAL TO COUNCIL**

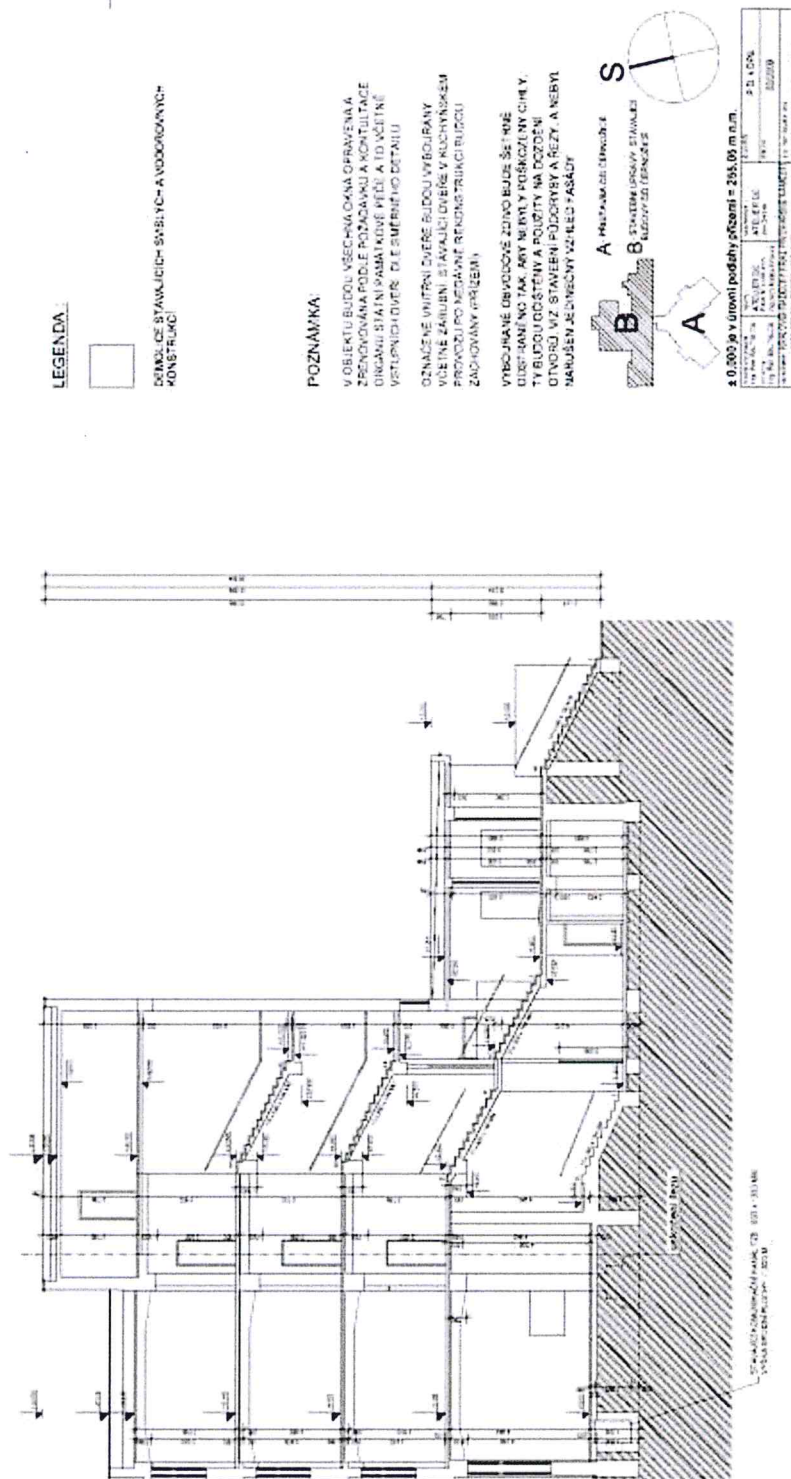
je: 0,609 je v úrovní počtu platby = 254,09 € n.m.

[illegible]

## PŘÍLOHA č.3d

### PŘÍLOHA č.3e

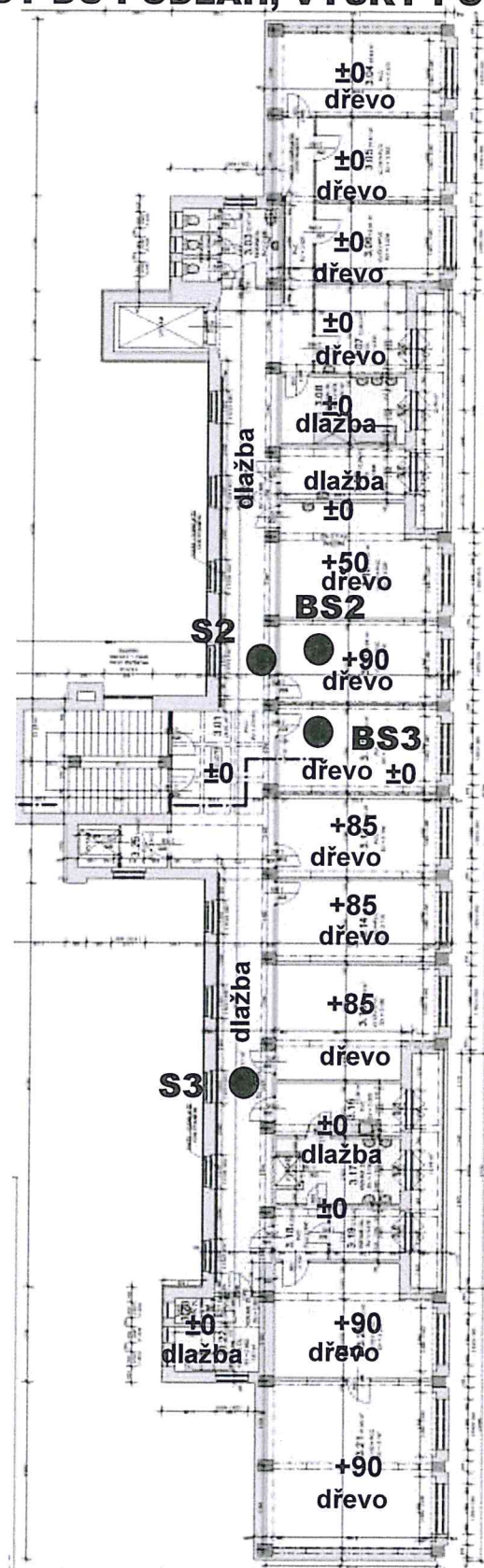
# ZAMĚŘENÍ STÁVAJÍCÍHO STAVU 2009 ŘEZ A-A



ŘEZ PŘÍČNÝ A - A - BOURACÍ PRÁCE  
1:100







## PŘÍLOHA č.4b

## **FOTODOKUMENTACE**

### **FOTO č.1**

Pohled na vchod do objektu z ulice

### **FOTO č.2**

Pohled na objekt.Fasáda s obezdívkami železobetonového skeletu.

### **FOTO č.3**

Sonda do podlahy S1 ve 3.N.P.

### **FOTO č.4**

Pohled do sondy,konstrukce podlahy s dlažbou a betonem.

### **FOTO č.5**

Sonda do podlahy S2 ve 4.N.P.

### **FOTO č.6**

Sonda do podlahy S3 ve 4.N.P.

### **FOTO č.7**

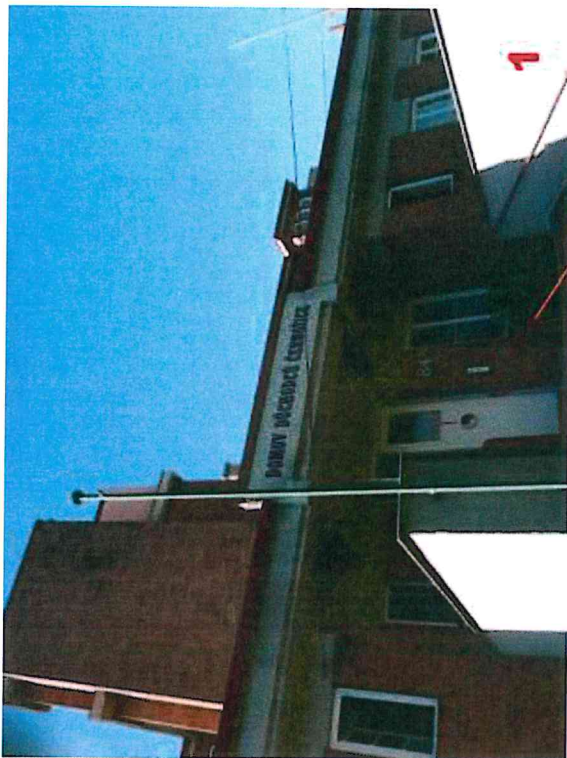
Železobetonové konstrukce skeletu ve 4.N.P.

### **FOTO č.8**

Železobetonové konstrukce skeletu ve 4.N.P.



## FOTODOKUMENTACE



**PŘÍLOHA č.5**



## FOTODOKUMENTACE

